### Федеральное государственное бюджетное образовательное учреждение высшего образования

#### УФИМСКИЙ ГОСУДАРСТВЕННЫЙ АВИАЦИОННЫЙ ТЕХНИЧЕСКИЙ УНИВЕРСИТЕТ Факультет авиационных двигателей, энергетики и транспорта Кафедра авиационной теплоэнергетики и теплотехники

Выпускная квалификационная работа

# Анализ технико-экономической эффективности КПГУ на базе паротурбинной установки ПТ-135/165-130/15 и газотурбинной установки ГТЭ-150 на переменных тепловых нагрузках

13.04.01 «Теплоэнергетика и теплотехника»

Выполнил: студент группы ТЭм-206

Байбеков С. Г.

Руководитель: Цирельман Н.М.

### Цели и задачи работы

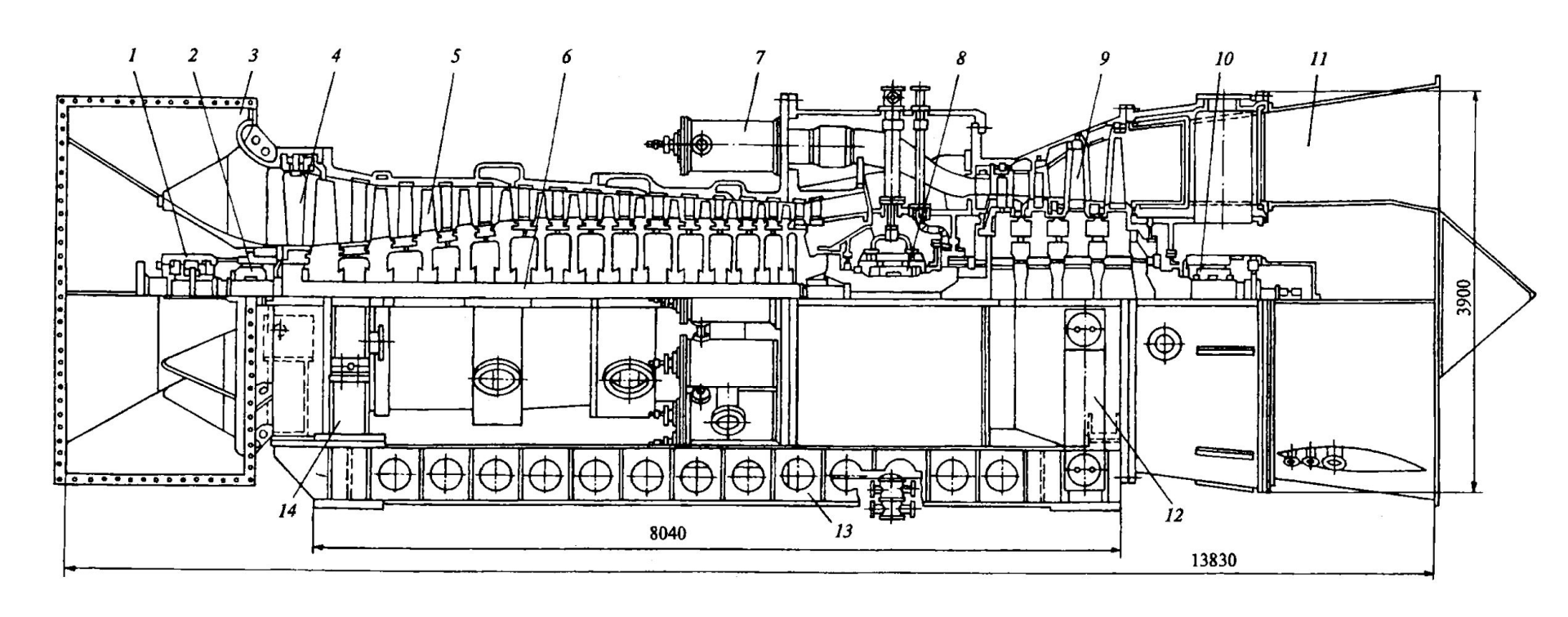
#### Цель:

• Расчет и анализ технико-экономической эффективности КПГУ на базе ПТУ ПТ-135/165-130/15 и ГТУ ГТЭ-150 на переменных тепловых нагрузках при температурах наружного воздуха  $t_{\text{нар}}$ =+15, -5, -25  $^{0}C$ .

#### Задачи:

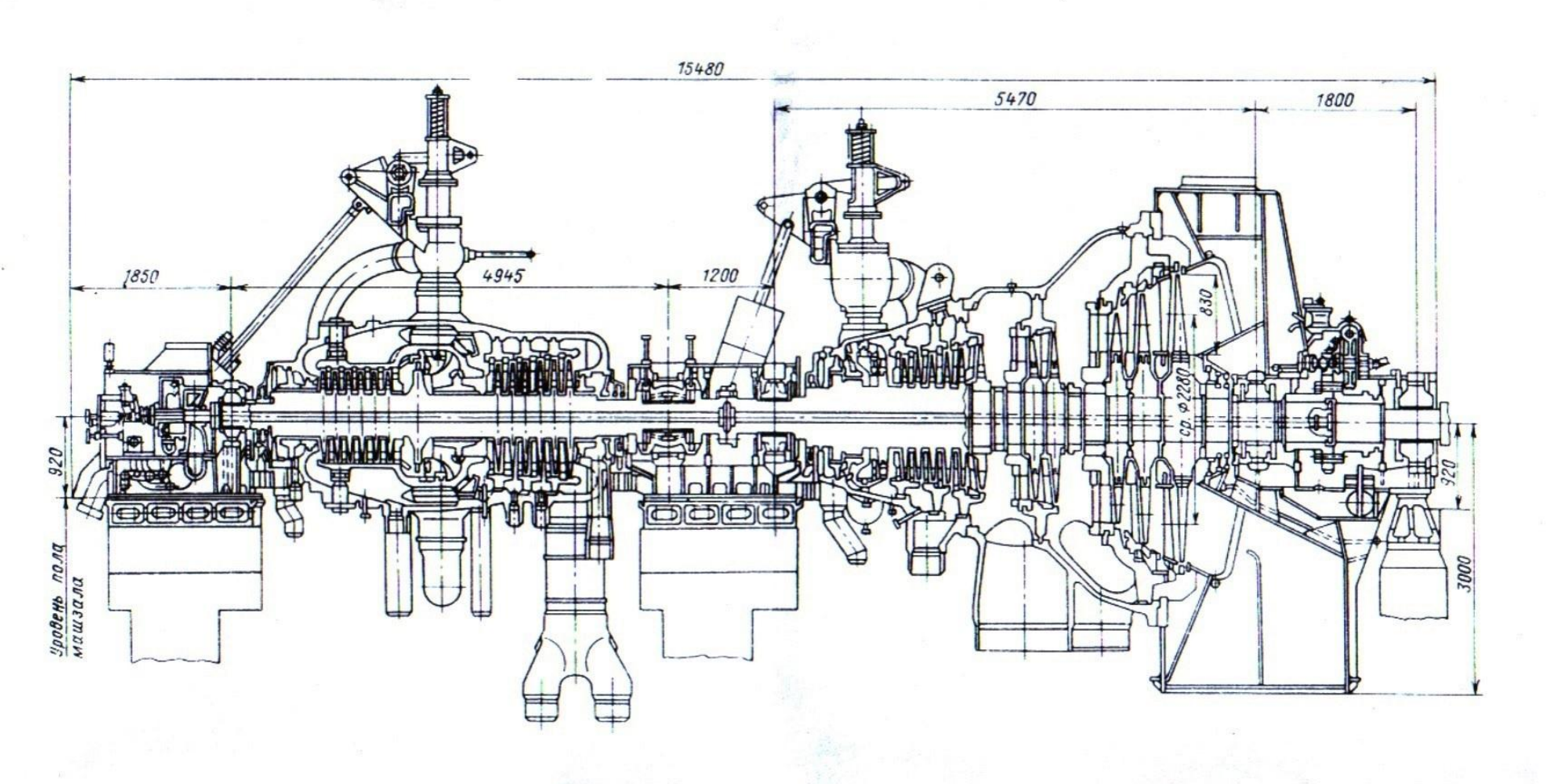
- Термодинамические расчеты ГТУ ГТЭ-150;
- Расчет принципиальной тепловой схемы ПТ-135/165-130/15 при температурах наружного воздуха  $t_{\rm hap}$ =+15, -5, -25 $^{0}C$ ;
- Разработка и расчет принципиальных схем ПГУ сбросного типа, ПГУ с одноконтурным КУ и ПГУ с двухконтурным КУ на переменных тепловых нагрузках;
- Сопоставительный анализ полученных результатов.

### Продольный разрез газотурбинной установки ГТЭ-150

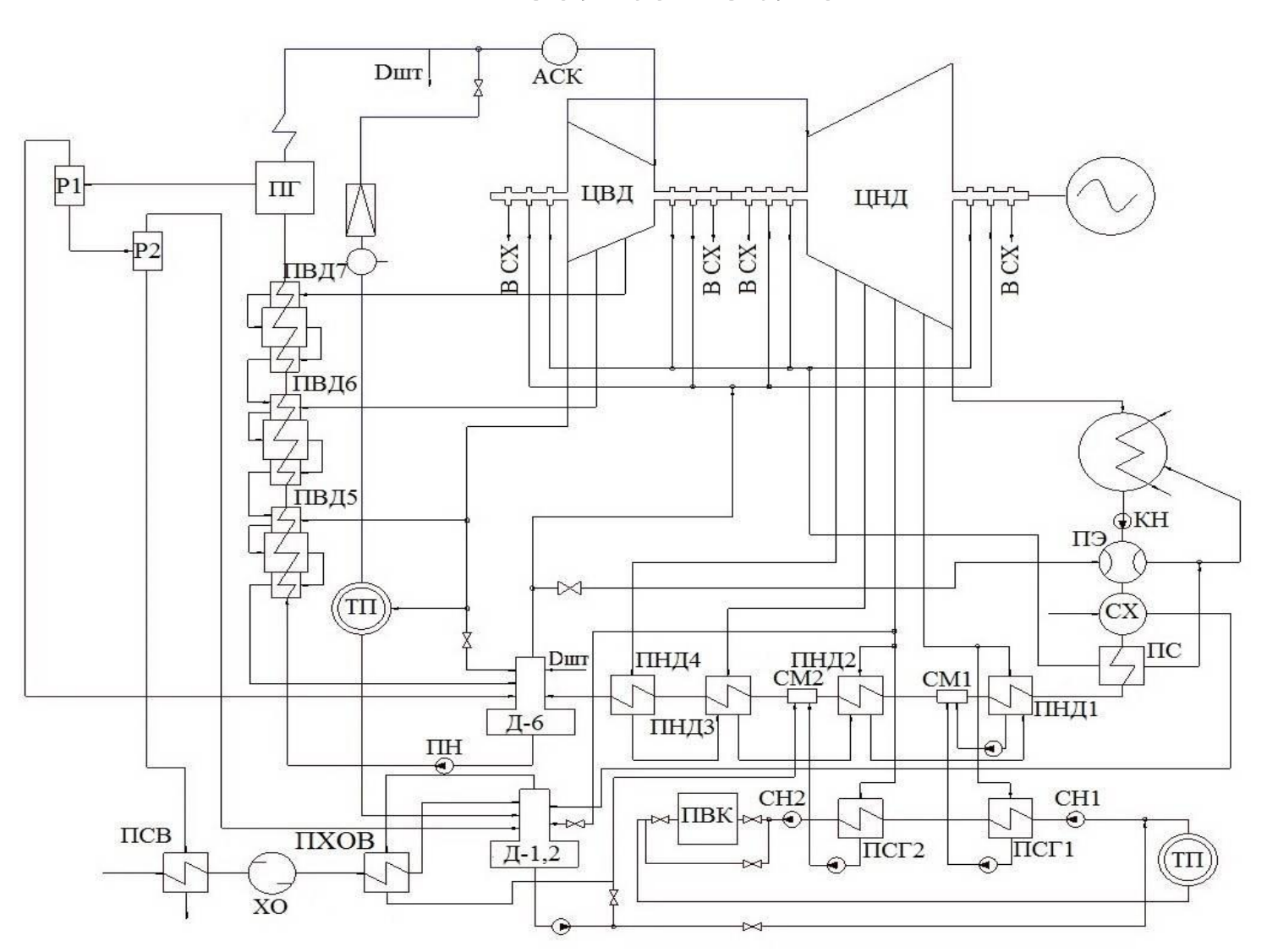


1 – упорный подшипник; 2 – передний опорный подшипник; 3 – входной патрубок компрессора; 4 – поворотный входной направляющий аппарат; 5 – лопатки компрессора; 6 – центральная стяжка ротора компрессора; 7 камера сгорания; 8 – средний подшипник; 9 – лопатки турбины; 10 – задний подшипник; 11 – выходной диффузор; 12 – задняя подвижная опора; 13 – рама; 14 – передняя неподвижная опора

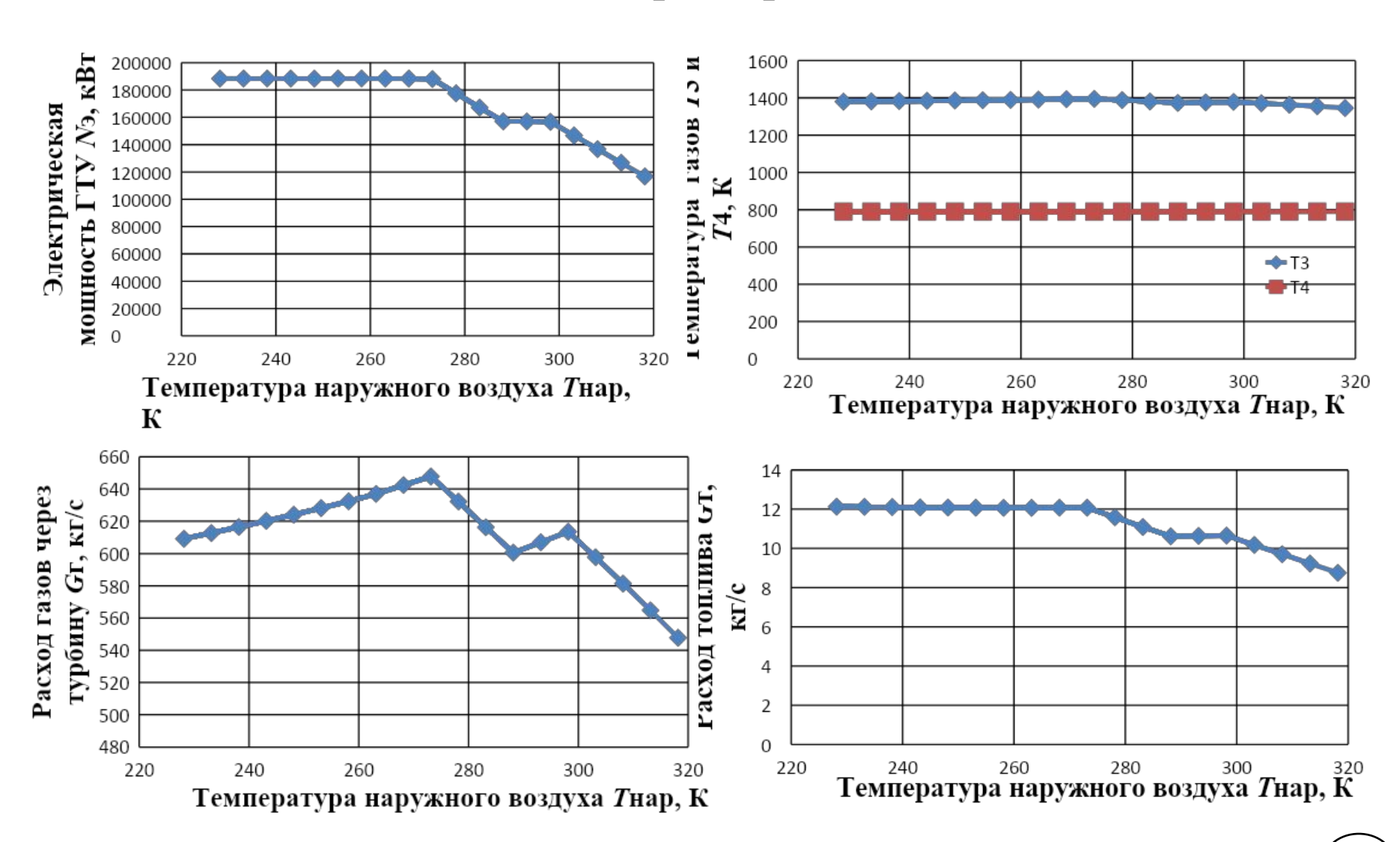
### Продольный разрез турбоустановки ПТ-135/165-130/15



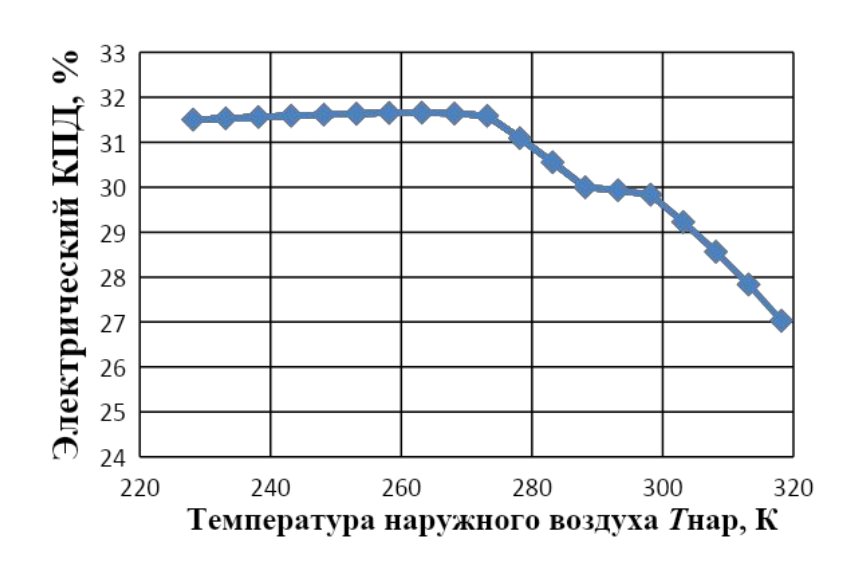
### Принципиальная тепловая схема турбоустановки ПТ-135/165-130/15

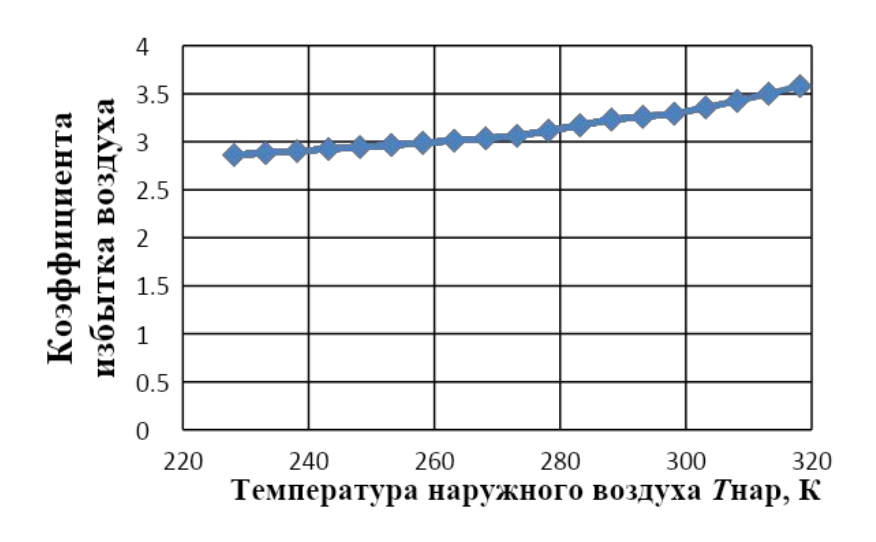


#### Климатические характеристики ГТЭ-150



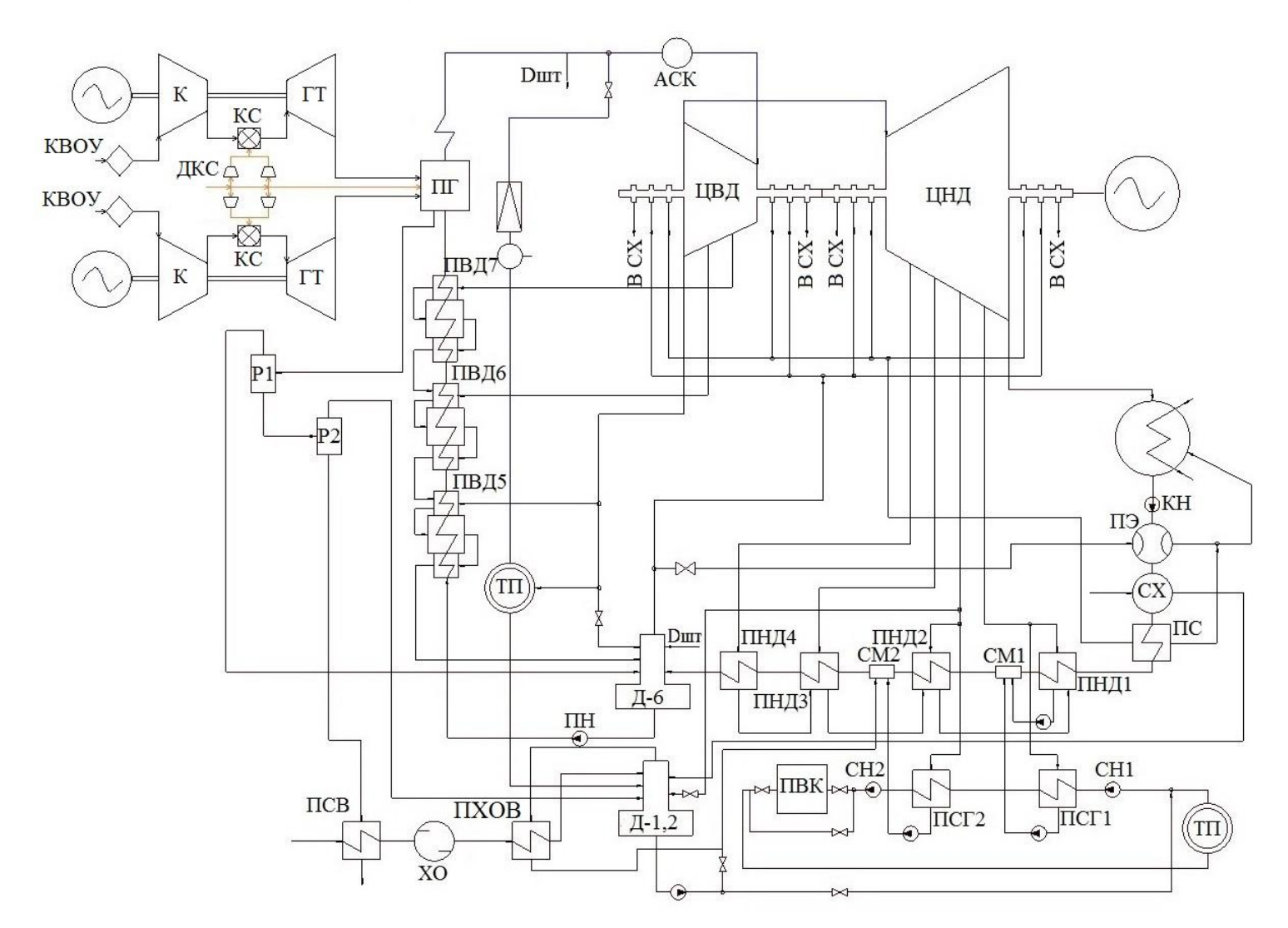
## Климатические характеристики ГТЭ-150 (продолжение)



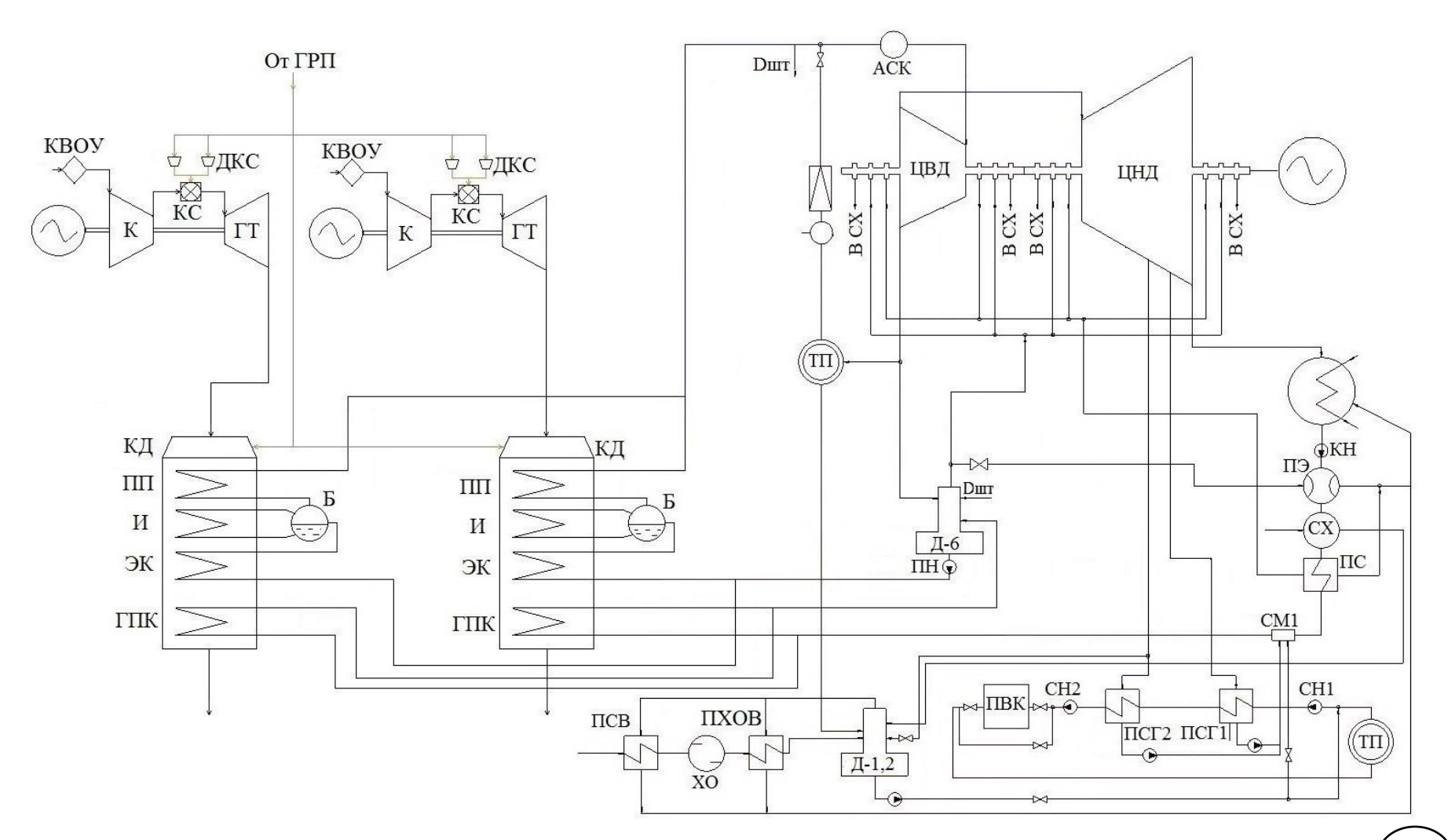




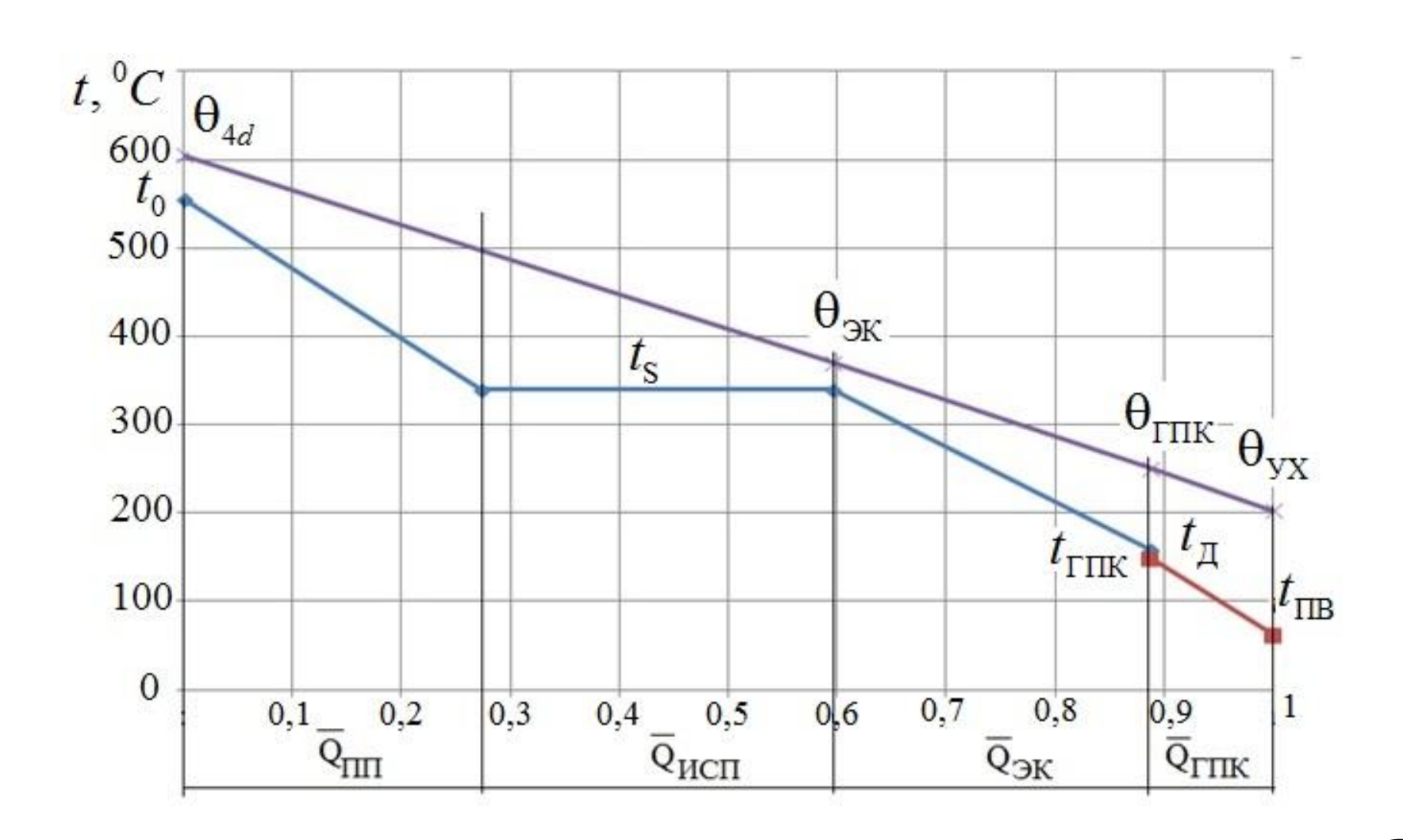
## Принципиальная тепловая схема ПГУ сбросного типа с дожиганием топлива



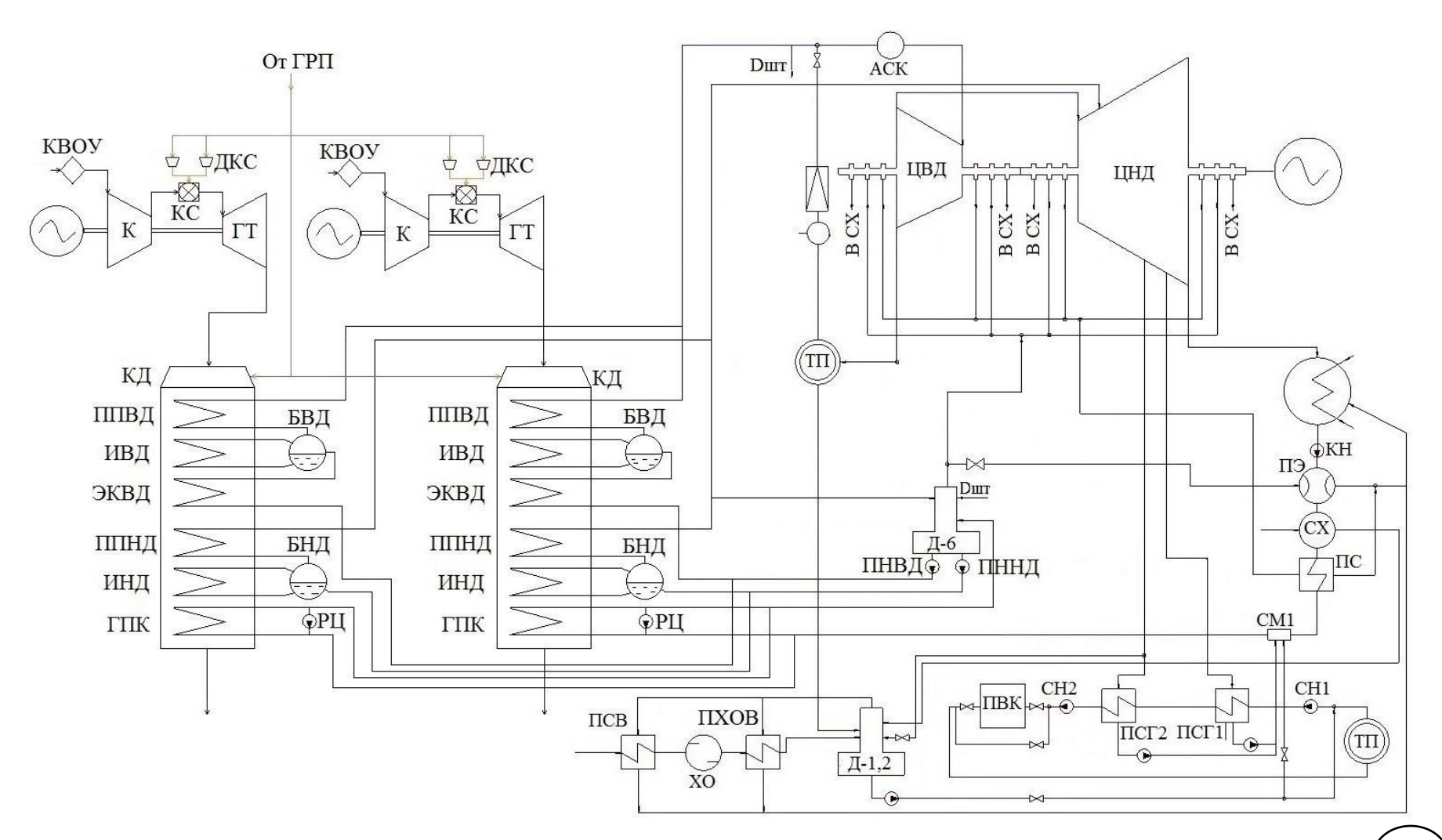
# Принципиальная тепловая схема ПГУ с одноконтурным КУ с дожиганием топлива



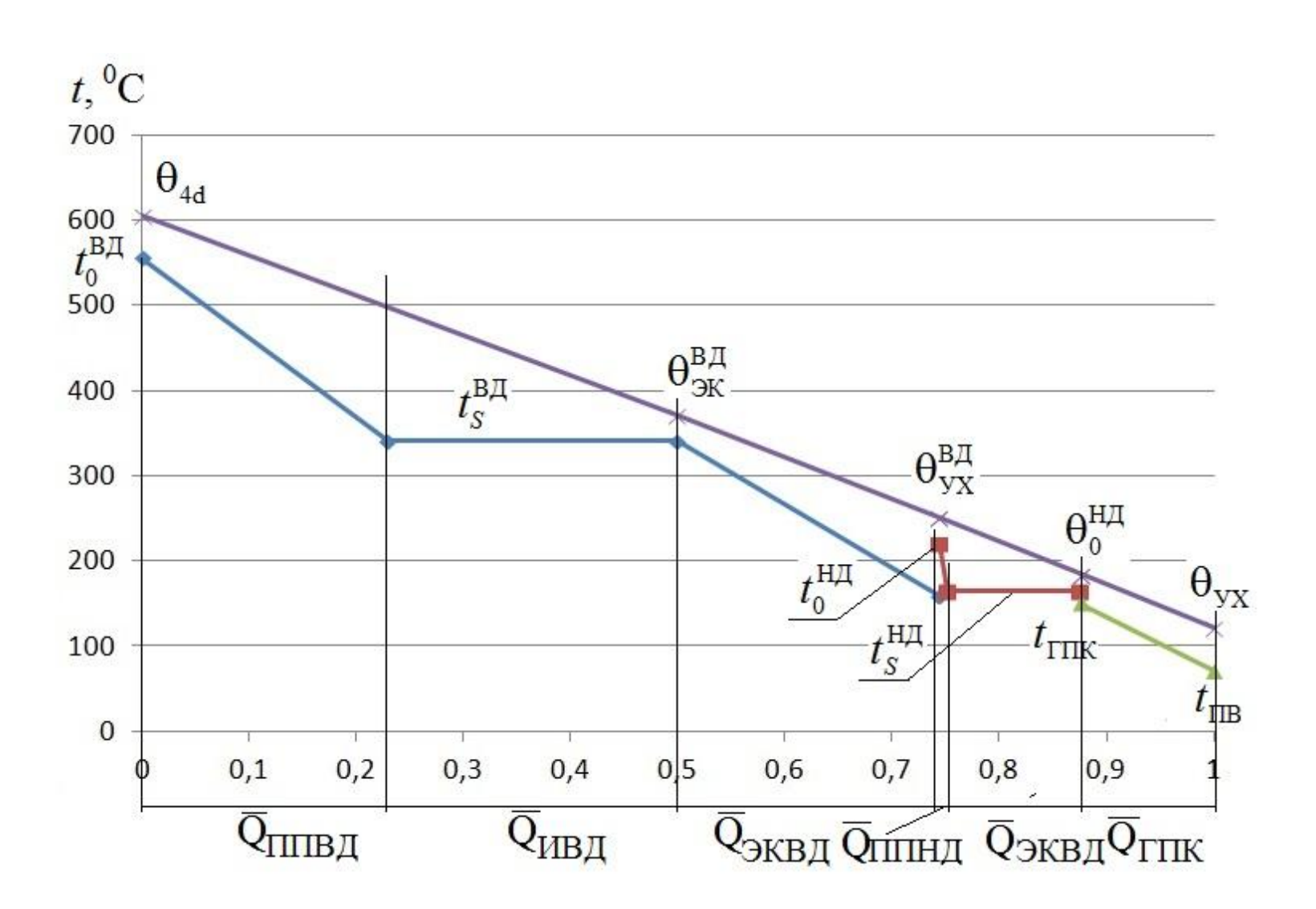
#### Q, t — диаграмма одноконтурного котла-утилизатора



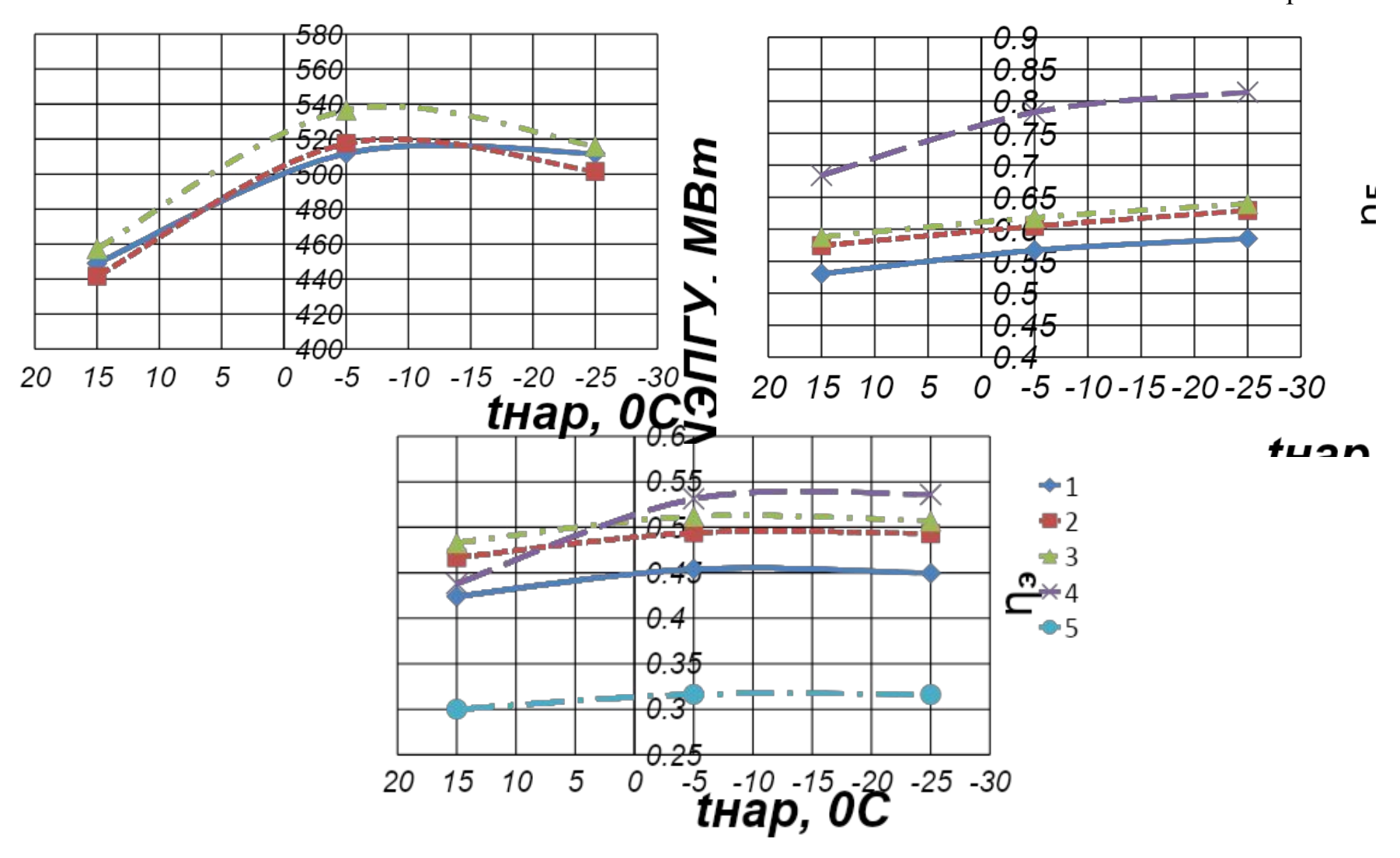
# Принципиальная тепловая схема ПГУ с двухконтурным КУ с дожиганием топлива



#### Q, t — диаграмма двухконтурного котла-утилизатора

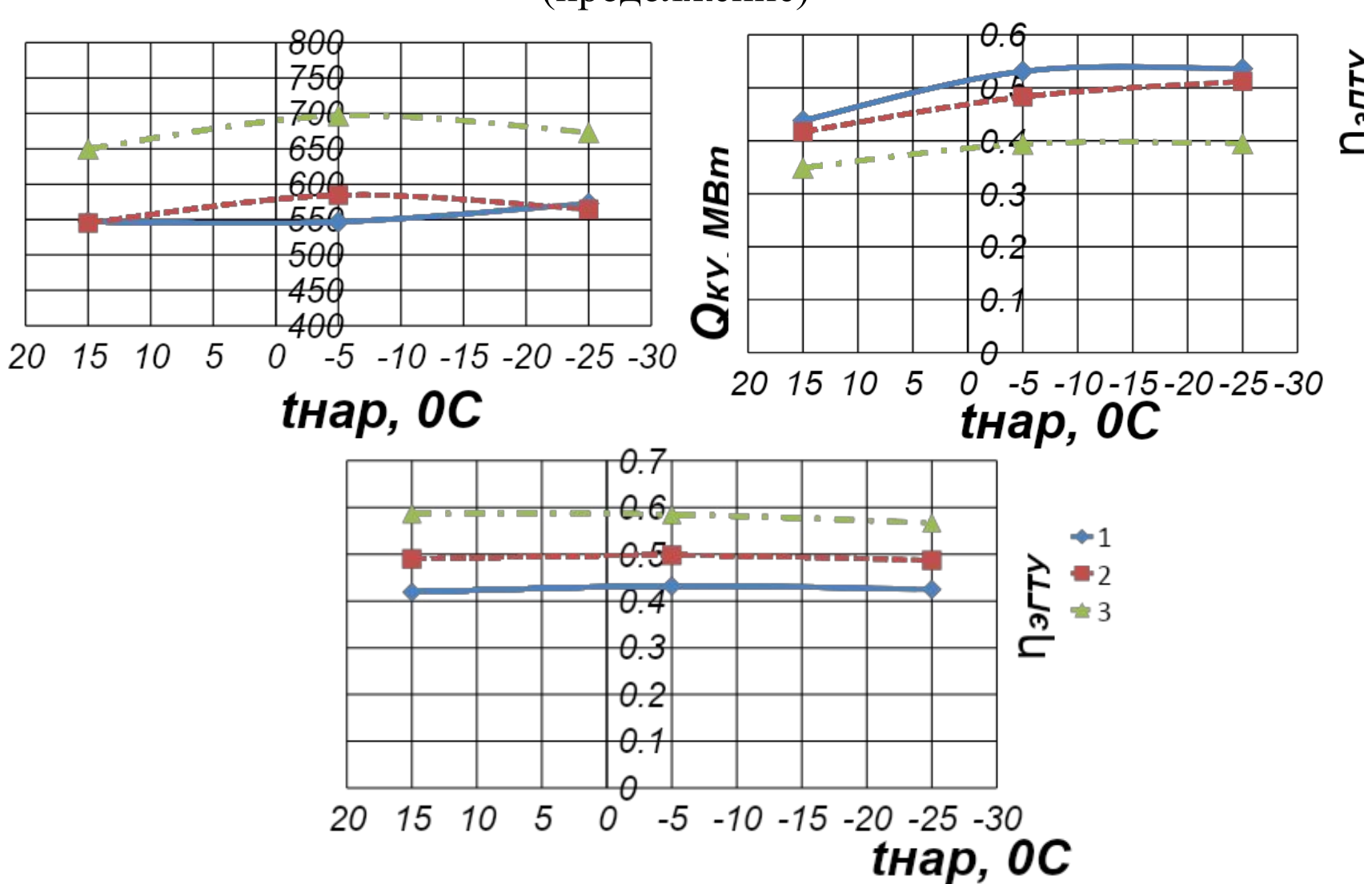


### Зависимости технико-экономических показателей ПГУ от $t_{\rm hap}$



1 – ПГУ сбросного типа; 2 – ПГУ с одноконтурным КУ; 3 – ПГУ с двухконтурным КУ; 4 – ПТУ; 5 – ГТУ;

### Зависимости технико-экономические показателей ПГУ от $t_{\rm hap}$ (продолжение)

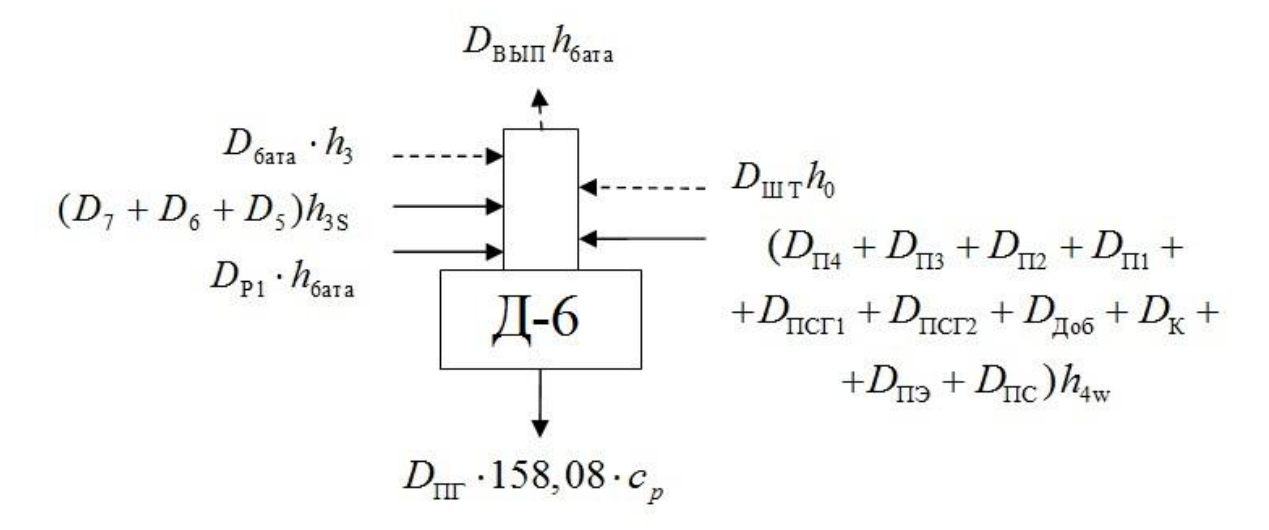


1 – ПГУ сбросного типа; 2 – ПГУ с одноконтурным КУ;

3 – ПГУ с двухконтурным КУ.

### Уравнение теплового баланса для деаэратора Д-6 и формула расчета мощности турбоустановки

$$\begin{split} D_{\text{6ara}} \cdot h_{\text{3}} + (D_{\text{7}} + D_{\text{6}} + D_{\text{5}}) h_{\text{3}}' &+ D_{\text{P1}} \cdot h_{\text{6ara}} + D_{\text{IIIT}} h_{\text{0}} + \\ + (D_{\text{\Pi4}} + D_{\text{\Pi3}} + D_{\text{\Pi2}} + D_{\text{\Pi1}} + D_{\text{\PiC\Gamma1}} + D_{\text{\PiC\Gamma2}} + D_{\text{Доб}} + D_{\text{K}} + D_{\text{ПЭ}} + D_{\text{ПС}}) h_{\text{4w}} = \\ &= D_{\text{ПГ}} \cdot 158, 08 \cdot c_p + D_{\text{BbIII}} h_{\text{6ara}}. \end{split}$$



$$\begin{split} \frac{N_{\Im}}{\eta_{\mathrm{M}}\eta_{\Gamma}} &= D_{\Pi7}(h_{0} - h_{1}) + D_{\Pi6}(h_{0} - h_{2}) + (D_{\Pi5} + D_{\PiP} + D_{6\mathrm{ara}})(h_{0} - h_{3}) + \\ &+ D_{\Pi4}(h_{0} - h_{4}) + D_{\Pi3}(h_{0} - h_{5}) + (D_{\Pi2} + D_{1,2\mathrm{ara}} + D_{\Pi C \Gamma 2})(h_{0} - h_{6}) + \\ &+ (D_{\Pi1} + D_{\Pi C \Gamma 1})(h_{0} - h_{7}) + D_{\mathrm{K}}(h_{0} - h_{\mathrm{K}}) \end{split}$$

### Выводы по работе

- Выполнен термодинамический расчет ГТЭ-150 в условиях ISO, а также расчет нагрузочных и климатических характеристик, результатом которых явились данные о параметрах состояния рабочего тела в основных точках цикла и показатели эффективности работы установки.
- Для ПТУ ПТ-135/165-139/15 составлен график тепловых нагрузок, рассчитаны значения внутренних относительных КПД отсеков, на основе чего выполнен расчет ее принципиальной тепловой схемы для трех режимов отопительной нагрузки.
- Выполнен расчет трех схем ПГУ, в результате которого получены значения техникоэкономических показателей ПГУ.
- В целом эффективность базовой ПТУ (КПД «брутто») выше благодаря наличию теплового потребителя, тогда как КПД ГТУ относительно низкий. Однако эффективность по выработке электроэнергии у ПТУ выше только на режимах повышенной тепловой нагрузки.
- С повышением тепловой нагрузки КПД ПГУ «брутто» возрастает благодаря увеличению суммарного полезного отпуска энергии. Однако КПД ПГУ по выработке электроэнергии из трех рассчитанных режимов имеет максимум при  $t_{\rm наp} = -5~^{\circ}C$ ., так как с дальнейшим понижением температуры наружного воздуха увеличивается расход топлива на ПВК, отрицательно влияющий на КПД установки.
- Среди рассмотренных типов ПГУ наиболее эффективной оказалась схема ПГУ с двухконтурным КУ благодаря наиболее полной утилизации теплоты уходящих газов ГТУ.

• В среде MS Excel была разработана программа расчета паротурбинных установок типа

16